

دراسة رسوبية ومعدنية لتراكيب الدرنات في جبل سنام جنوبي العراق

المدرس المساعد

نائل عبد الامام كريم النجار

جامعة البصرة - كلية العلوم - قسم علم الارض

المستخلص

درست سبعة مقاطع في جبل سنام جنوبي العراق تحوي انواعاً مختلفة من الدرنات وخضعت العينات الى عملية الفحص المعدني بجهاز الاشعة السينية الحائدة فضلاً عن الفحص البتروغرافي بعد تحضير الشرائح الصخرية للعينات قيد الدراسة. أظهرت الدراسة الحقلية و الدراسة المعدنية ان هذه الدرنات ذات محتوى سليكاتي ، جيري ودولومايتي في طبقات الحجر الجيري ، المارل والحجر الجيري المتدلمت على التوالي ، كذلك وجود تراكيب كروية ذات تركيب جيري -سليكاتي في طبقات الرمل الجيري . قد ميز ثلاثة اشكال من الدرنات تمثل الاول بالدرنات الجيرية الكروية الحاوية على المتحجرات الفورامنيفرا والطحالب المعروفة بالدرنات الشعاعية ، اما الشكل الثاني فتمثل بالدرنات الدولومايتية على شكل دوائر متحدة المركز اما الشكل الثالث فظهر بشكل شبه كروي للعقد السيليكية المعروفة بالصوان . ويرجع اصل تكون هذه الدرنات العمليات الدفن العميق ومايرافقه من احلال فضلاً عن النمو حول هياكل المتحجرات من الفورامنيفرا والطحالب .

**Sedimentary and mineralogical study of concretions structure in
Jabil sanam, southern Iraq**

Assistant teacher

N.A.I. Al-Najar

Geology Dept./ Science college/ Basrah University

geonael@yahoo.com

Abstract

Seven sections of different types of concretions were studied mineralogical by using X.R.D. , and petrographical in thin section for seven selected sample .

The mineralogical and petrographical studies where showed the siliceous, carbonate, and dolomitic of concretions' in layer of limestone and marl , in edition lime-siliceous spherical structure in layer of limesandston.

Three types of concretions were distinguished :spherical lime concretion which contain foraminifera as sptaria form , rounded shape of dolomitic concretion , silicate noudle (chert) and geode.

The origin of concretion were barial processes , replacing and growth mineral around foraminifera and algae.

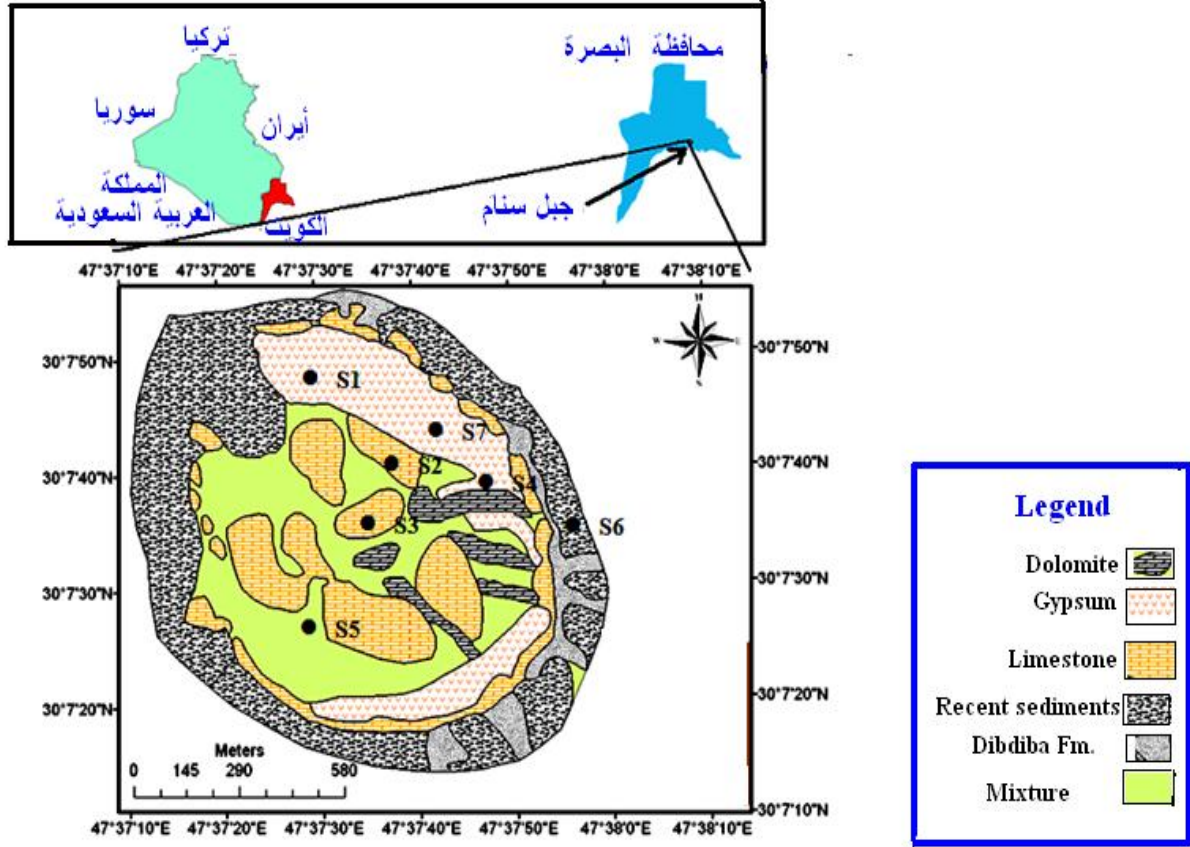
Preface المقدمة

تعتبر الدرنات من التراكيب الرسوبية الثانوية الناتجة بفعل العمليات التحويرية للرواسب وتتواجد في اغلب الصخور الرسوبية مثل الحجر الجيري والدولومايت و المارل (Pettijohn.1975.p.470) كما تمثل الدرنات تجمعات لمواد رسوبية غير عضوية في رواسب تختلف عنها في التركيب المعدني (Folk.1974.p.152) , نتيجة ملء الفراغات في الصخر المضيف وعمليات الاستبدال المعدني

والاحلال الميكانيكي بفعل ثقل الطبقات ، وتختلف الدرنات عن العقد من حيث كون الاولى ذات اشكال كروية منتظمة الشكل تنمو حول حبيبة مركزية او هيكل متحجر(Blatt.1967.p.1033)وقد تحوي تراكيب داخلية كما في الدرنات الشعاعية والجيود تملأ بمعادن مختلفة مثل الكوارتز الباريت والكاسايت و اكاسيد الحديد بينما العقد فتتخذ اشكالا" غيرمنتظمة وتخلو من التراكيب الداخلية (Boggs.2010.p.152).

هدف البحث ومنطقة الدراسة

يهدف البحث الى تشخيص انواع الدرنات الموجودة في الصخور المختلفة في جبل سنام من خلال دراستها معدنيا" وبتروغرافيا" في سبعة مقاطع مختارة ، كما في الشكل (١) .
يقع جبل سنام جنوبي العراق بمحاذاة الحدود العراقية الكويتية اذ يرتفع جبل سنام كظاهرة جيومورفولوجية قاحلة عن الأراضي المجاورة له بحدود (٩٦)متراً وحوالي (١٥٢) متراً عن مستوى سطح البحر(رمضان، ١٩٩٨، ص. ١٠).
تشكل صخور التركيب المنكشفة على السطح ما يُعرف بصخور الغطاء (Cap rocks)المعقدة المكونات والتي تمثل الجزء العلوي من جسم الاسطوانات الملحية عادة ، والتي تتألف غالبا من المتبخرات بصورة رئيسة (سلطان، ٢٠٠٣، ص، ٤) . وتبعاً لـ (Al-Naqib.1970.p.12) فإن صخور جبل سنام تتألف من أربع وحدات رئيسة وحدة صخور المارل المُخضرة /المُحمرة، ووحدة صخور الحجر الجيري. و وحدة صخور الجبس و وحدة فتاتيات تكوين الدبديبة.
و تبعاً لتقسيمات (Buday.1987.p.5) الفيزيوجرافية للعراق فإن تركيب جبل سنام يقع ضمن سهل الدبديبة(Dibddiba plain)العائد إلى منطقة الرصيف غير المستقر (Unstable shelf) التابع إلى نطاق وادي الرافدين(Mesopotamian Zone) . أما تكتونياً ، فإن التركيب يقع ضمن منطقة الأحواض الغائرة العائدة لنطاق ما بين النهرين من أرض المقدمة للطبق العربي (Arabian Plate) وذلك حسب تقسيمات العراق التكتونية التي أقرتها(Numan.2001..p.2032) .



شكل (١) خريطة مواقع الدراسة

طرائق العمل Methodology

العمل الحقلی Field work

تضمن القيام بمسح ميداني لمناطق ضمن جبل سنام لغرض التعرف على الوحدات الصخرية المنكشفة بفعل اختراق الاسطوانة الملحية وما رافقه من انتشار متنوع لوحات الحجر الجيري ، الجبسم ، المارل وصخور الصوان وشوهدت تراكيب الدرنات في مواقع مختلفة كما في الشكل (١) . جمعت سبعة نماذج ممثلة من سبعة مقاطع مختارة.

Laboratory work العمل المختبري

شمل التحليل المعدني للنماذج المختارة وذلك بعد طحنها باستعمال هاون العقيق الى حجم (٥٠ مايكرون) وفحصها على حدة باستخدام جهاز الأشعة السينية الحائدة (XRD) الموجود في كلية العلوم/ جامعة البصرة وحسب ظروف التشغيل (20 mA,40kV,Ni-Filterd and CuK α radiation) تم تشخيص المكونات المعدنية وتقدير نسب المعادن بأستعمال المساحة تحت المنحني وحسب (CHAO.1960.P.80) وبرنامج PhilipsXpert High score (تقدير شبه كمي) .

حضرت شرائح صخرية مختلفة للنماذج قيد الدراسة أذ فحصت باستعمال المجهر المستقطب (Polarized Microscope) نوع (Optika) لتحديد انواع المكونات المعدنية فضلا" عن المكونات الاخرى كالمحجرات .

وخضعت النماذج الى التحليل الشكلي للتعرف على شكلها وتقدير ابعادها وقطع النموذج الى نصفي لغرض معرفة التراكيب الداخلية الموجودة فيه.

النتائج والمناقشة :**التحليل الشكلي:**

يظهر الجدول (١) النماذج المختارة الدرناات وأوزانها والطبقات الحاوية لها ، اذ يلاحظ تواجدها في طبقات مختلفة من الصخور الرسوبية وكما هو شائع تتواجد تتواجد الانواع السيليكاتية في صخور الحجر الجيري كما في النماذج C3 , C7 , C5 وتتخذ أشكالا" شبه كروية ويظهر المقطع العرضي بانها على نوعين أولهما لا يحتوي على تراكيب داخلية كما في النموذج (C3) اللوحات (1-1a),(1-1b) اما النوع الثاني فيحوي على تراكيب داخلية على شكل حلقات دائرية متحدة المركز كما في النموذج C5 اللوحات (1-3a),(1-3b) اما النموذج C7 فيظهر تركيب الجيود والتجوييف الداخلي المحاط بمعدن الكوارتز كما في اللوحات (1-2a),(1-2b)

أما نماذج الدرناات ذات المحتوى الجيري فتتواجد في صخور المارل كما في النماذج (C1, C2) والتي تظهر نمو داخلي على شكل عروق تعرف Sptaria كما في اللوحات (1-4a),(1-4b) ويلاحظ ايضا" النمو الكروي الجيد للنموذج C4 الممثل للدرناات دولمايتية التركيب وذات دوائر

متحدة المركز ، اللوحة (٥- ١) كما شوهدت تراكيب جيدة التكور وذات وزن مرتفع نسبيا" للنموذج مقارنة بالنماذج الاخرى C6 لوحة (٦-١) والذي بلغ ٢٢٥٠ غرام ذات المحتوى الجيري السيلكي

جدول (١) النماذج المختارة من مواقع الدراسة مع أوزانها والطبقات المضيفة لها .

الموقع	S1	S2	S3	S4	S5	S6	S7
النموذج Sample	C 1	C 2	C3	C4	C5	C6	C7
الوزن Weight (gm)	150	75	90	25	20	2250	15
الطبقة المضيفة Host layer	Marl	Marl	Limesto ne	Marl	Limestone	Limesandstone	Limestone

اللوحة (1- 1a) النموذج C3 الذي يمثل عقد الصوان Chert

اللوحة (1- 1b) مقطع عرضي في نموذج C3 يظهر عدم وجود تراكيب داخلية في النموذج

اللوحة (1- 2a) النموذج C7 الذي يمثل الجيود Geode

اللوحة (1- 2b) مقطع عرضي في النموذج C7 يظهر التجويف في مركز النموذج

اللوحة (1- 3a) النموذج C5 الذي يمثل درنة شبه كروية

اللوحة (1- 3b) مقطع عرضي في النموذج C5 يظهر حلقتين من النمو الداخلي

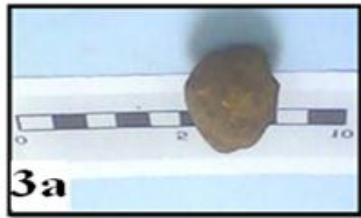
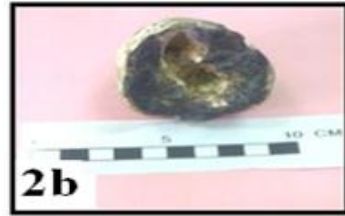
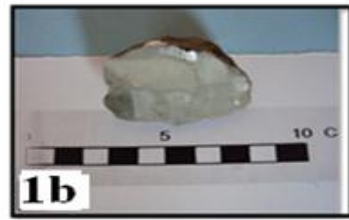
اللوحة (1- 4a) النموذج C1 الذي يمثل درنة شبه كروية

اللوحة (1- 4b) مقطع عرضي في النموذج C1 الذي يظهر تراكيب داخلية على شكل عروق Sptaria

اللوحة (1- 5) مقطع عرضي في النموذج C4 يظهر النمو الداخلي على شكل حلقات متحدة المركز

اللوحة (1-6) النموذج C7 الذي يظهر التكور الجيد للنموذج

لوحة (1)



التحليل المعدني Mineralogical analysis

بينت نتائج التحليل باستخدام الأشعة السينية الحائدة وجود معادن المرو، و الكالساييت، و الدولومايت، و الجبس ونسب قليلة من معادن الفلدسبار والهمتايت ، كما في الجدول (٢).

١- معدن المرو Quartz

شخص معدن المرو عند الانعكاسات Å (2.2, 2.4, 4.2, 3.34) المنتشر في جميع النماذج بنسب مختلفة وبصورة خاصة في النماذج (C7, C5, C3) وبنسب (88%, 60%, 61%) على التوالي التي تمثل نماذج ذات تركيب سليكي كما في عقد الصوان والجيود وتقل بصورة واضحة في النموذج (C4) الدولومايتي التركيب، كما في الأشكال (2،3).

٢- معدن الجبس Gypsum

شخص الجبس عند الانعكاسات Å (2.8, 3.06, 3.8, 4.28, 7.5) في نماذج الدراسة ماعدا النموذج C3 العلي المحتوى من السيلكا في عقد الصوان وكذلك النموذج (C4) الدولومايتي التركيب .

٣- معدن الكالساييت Calcite

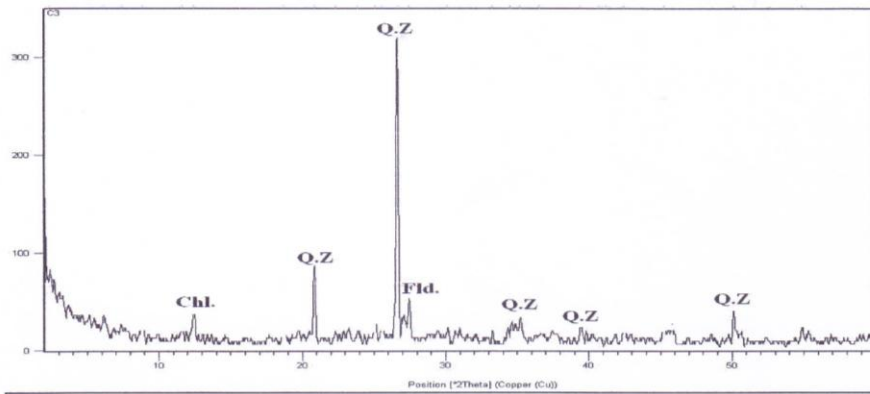
شخص الكالساييت عند الانعكاسات Å (1.5, 2.29, 3.04) يلاحظ زيادة الكالساييت في النماذج (C6, C2, C1) التي تمثل درنات جيوية في طبقات المارل ويقل في النماذج (C5, C4, C3) التي تمثل نماذج الصوان والدرنة الدولومايتية والسيليكية على التوالي كما في الأشكال (5،6).

٤- معدن الدولومايت Dolomite

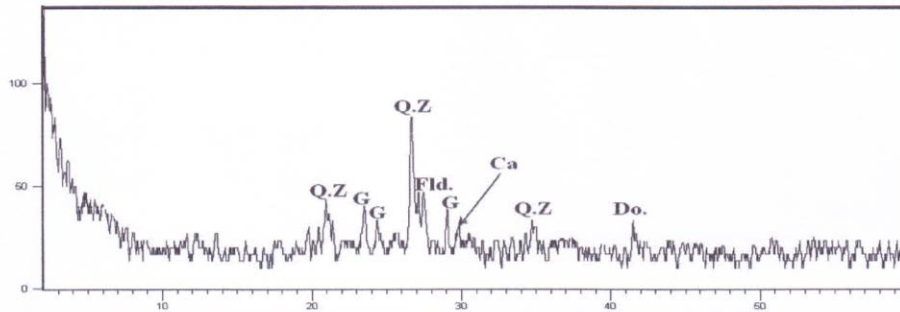
شخص الدولومايت عند الانعكاسات Å (1.8, 1.78, 1.7, 2.1, 2.89) اذ يلاحظ النسبة العالية في النماذج الدولومايتية والجيوية مترافق مع معدن الكالساييت ويشكل النسبة العظمى في النموذج C4 الذي يمثل درنات دولومايتية في صخور المارل، كما في الشكل (٧).

٥- المعادن الأخرى

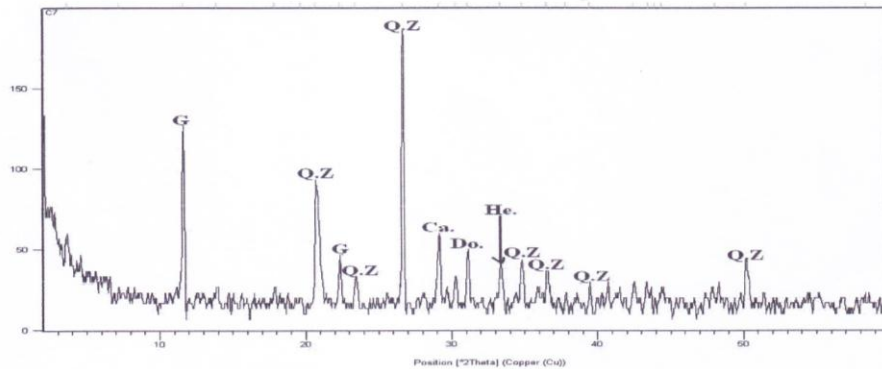
شخص الفلدسبار عند الانعكاسات Å (3.1, 3.24) في النموذجين C3, C6 فقط، اما معدن الهمتايت فقد شخص عند الانعكاس Å (2.69) في النموذج C4 الدولومايتي التركيب واذي جعل لون النموذج بني محمر، لوحة (1-5)



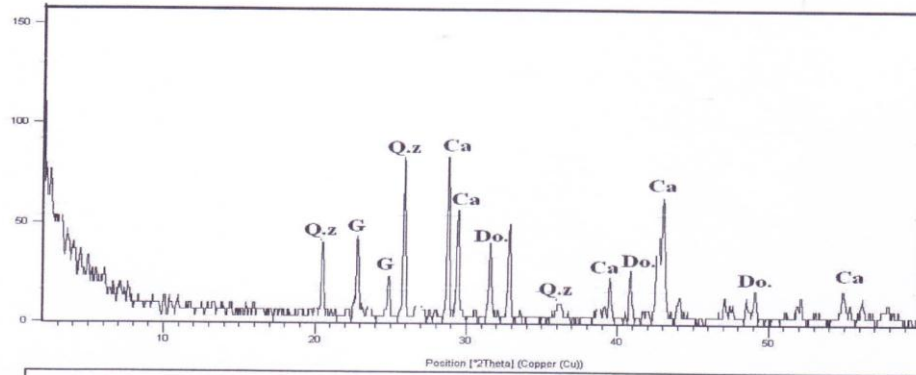
شكل (2) مخطط حيود الاشعة السينية للنموذج (C3) عقد الصوان



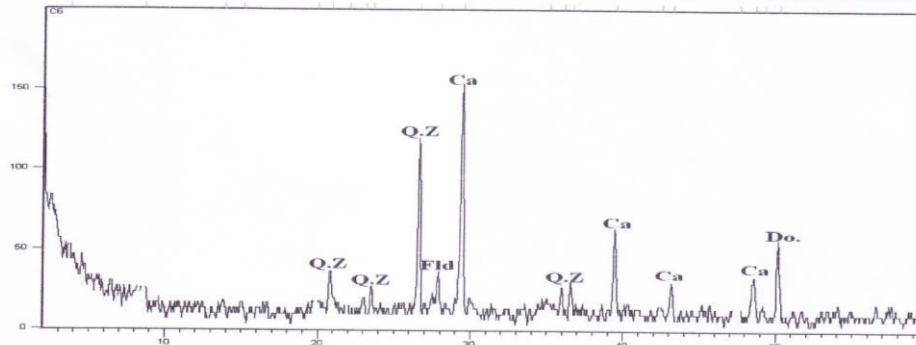
شكل (3) مخطط حيود الاشعة السينية للنموذج C5



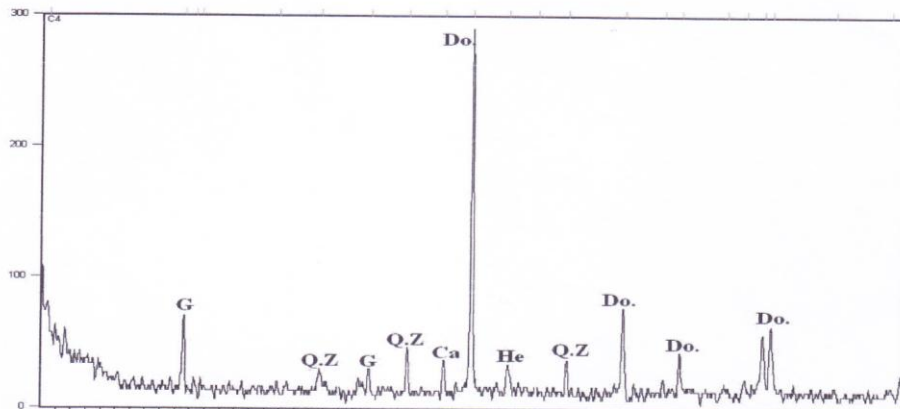
شكل (4) مخطط حيود الاشعة السينية للنموذج (C7)



شكل (5) مخطط حيود الأشعة السينية للنموذج C1



شكل (6) مخطط حيود الأشعة السينية للنموذج C6



شكل (7) مخطط حيود الأشعة السينية للنموذج C4

جدول (2) النسب المئوية لنتائج التحليل المعدني XRD

Sample	C1	C2	C3	C4	C5	C6	C7
Quartz	28	25	88	11	60	34	60
Feldspar	-	-	8	-	-	6	-
Gypsum	12	17	-	11	30	-	25
Calcite	41	34	-	4	4	51	6
Dolomite	19	22	-	69	5	9	5
Hematite	-	-	-	4	-	-	-
Chlorite	-	-	4	-	-	-	-
Mineralogy							
تركيب النموذج Composition	Carbonate	Carbonate	Siliceous	Carbonate (Dolomitic)	Siliceous	Lime- siliceous	Siliceous
النوع Type	Septarian nodule	Septarian nodule	Chert	Spherical concretion	Spherical concretion	Spherical concretion	Geode
الطبقة المضيفة Host layer	Marl	Marl	Limestone	Marl	Limestone	Lime sandstone	Limestone

التحليل البتروغرافي Petrographic analysis

عملت شرائح صخرية للنماذج قيد الدراسة لغرض فحصها بتروغرافيا" باستخدام المجهر المستقطب وذلك لمساندة الدراسة المعدنية بواسطة XRD فضلا" عن التعرف على السحنات المجهرية والعمليات التحويرية المتعرضة لها النماذج .

اولاً: الحبيبات الهيكلية

تمثلت الحبيبات الهيكلية المشخصة بأصداف الفورامينيفرا الطافية Planktonic foraminephera العائدة الى الجنس globigerial التي تنمو في بيئات ذات عمق ٢٠٠ م (سعدالله واخرون، ١٩٨٧، ص، ٩٨) ، فضلا" عن وجود الطحالب الجيرية وكريات الكالسيوم Calcspher ذات التركيب الجيري والتي يمكن ان تكون نواة لنمو الدرنات حولها(عباوي واخرون ، ١٩٩١، ص، ٨١)، إذ لوحظت هذه الحبيبات في النماذج C1, C2 التي تمثل درنات جيرية نوع Sptaria في سحنة wackstone إذ تمثل الحبيبات الهيكلية ٢٠% أما المكرايت فكان ٨٠% اللوحات (2-1a) و(2-1b) و(2-2a) و(2-2b) كذلك لوحظ نمو الكالسايت في كسور النماذج C1, C2 لوحة (3-1). إذ نفس الفورامينيفرا المحتوى السيلكي للنماذج المشخص سابقا" بالاشعة السينية على شكل معدن المرو ، اما الطحالب الجيرية والكالسيوم والمكرايت فتؤثر في المحتوى الكلسي الذي ينعكس على شكل معدن الكالسايت والدولومايت

ثانياً: الحبيبات المعدنية

قسمت الدرنات الى الانواع لغرض دراسة تركيبها المعدني وسحناتها :

١- الدرنات اشعاعية Septaria

تشمل النموذجين C1, C2 إذ لوحظ احتوائها على المكرايت في الارضية باعتباره حبيبات كالسايت دقيقة التبلور جدا" فضلا" عن حبيبات كالسايت متجمعة على شكل ترايب جيدة التكور تعرف بالكالسيوم كالكالسيوم إذ يمكن ان يعزى معدن الكالسايت المشخص بالاشعة السينية الى هذه الحبيبات، أما السيلكا المشخصة فيمكن ان تعزى الى معدن المرو في اصاف الفورامينيفرا وكذلك معدن الكالسيوم، كما في اللوحات (2-2a), (2-1b), (2-1a), (3-4) .

٢- عقد الصوان *Nodules of chert* و الجيود *geode*

اظهرت الدراسة البتروغرافية بصورة واضحة جدا" معدن المرو في النموذج C3 متمثلا" بحبيبات دقيقة التبلور وحبيبات اكبر حجما" تنمو في الكسور لوحة (3-2b) , (3-2a) والذي يعزى له معدن المرو المشخص بالاشعة السينية كذلك يمثل المرو النسبة العظمى في النموذج C7 الذي يمثل الجيود

٣- الدرنات الكروية *Spherical Concretions*

شخصت في الدراسة الحالية نوعان من الدرنات ذات الشكل الكروي والخالية من التراكيب الداخلية تتمثل بالدرنات السيليكاتية والدرنات الدولومايتية ، تمثلت الدرنات السيليكاتية والسيلكية -الجيرية في النموذجين C5 و C6 على التوالي أذ شخص معدن المرو بصورة واضحة و معدن الكالساييت بأحجام تتراوح من البلورات المتوسطة الى البلورات الصغيرة جدا" متمثلة بأرضية المكرايتكما في اللوحات (4-1b),(4-1a)، اما الدرنات الكروية الدولومايتية فتمثلت بالنموذج C4 الذي يحوي معدن الدولومايت بنسبة عالية فتظهر في الشرائح الصخرية حبيبات الدولومايت المعينية الشكل ذات اللون القريب للبني بسبب معدن الهمتاتيت وهذا متوافق مع الدولومايت المشخص بالاشعة السينية الحائدة ويظهر المرو الكالساييت كحبيبات بين الدولومايت، اللوحة (4-2) .

ثالثا": العمليات التحويرية *Diagenesis*

يقصد بها جميع العمليات الكيميائية والفيزيائية والحياتية التي تؤثر على الرسوبيات بعد ترسيبها والى ما قبل تحولها بعيدا" عن التغيرات السطحية والتحول . ونظرا" "لكون الدرنات من التراكيب الرسوبية الثانوية فقد تأثرت بعدة عمليات تحويرية لوحظت خلال الدراسة البتروغرافية.

١- عملية الانضغاط (*Compaction*)

تؤدي عملية الانضغاط بفعل ثقل الطبقات العليا على الرسوبيات الى رص الحبيبات وتقاربها وقد لوحظ ذلك في النماذج جميعها قيد الدراسة

٢- عملية السمنتة (*Cementation*)

تعرف السمنتة بأنها عملية ربط الرواسب بفعل ترسيب مواد بين الحبيبات وقد لوحظ وجود المواد الرابطة التالية :

١- مواد رابطة سيليكية

شخص المرو كمادة رابطة بين الحبيبات النموذج C3 اما الكالسيوموني فقد شخص رابطة في النموذج C2 ، تربط الحبيبات الجيرية والهيكلية مع بعضها اللوحات (3-2a),(3-2b)

٢- مواد رابطة كلسية

شخص معدن الكالسايت كمادة رابطة في النموذج C1 تربط الحبيبات الهيكلية وبلورات الكالسايت الكبيرة وكذلك في النموذج C4 اذ تربط حبيبات الكالسايت حبيبات الدولومايت الكبيرة الحجم نسبيا" . ((2-1a),(2-1b),(4-2)

٣- مواد رابطة حديدية

لوحظ تأثير الهيماتيت في النموذج C4 الذي يشير الى تاثر النموذج الدولومايتي بعملية الاكسدة مما يجعل النموذج يميل الى اللون البني المحمر .

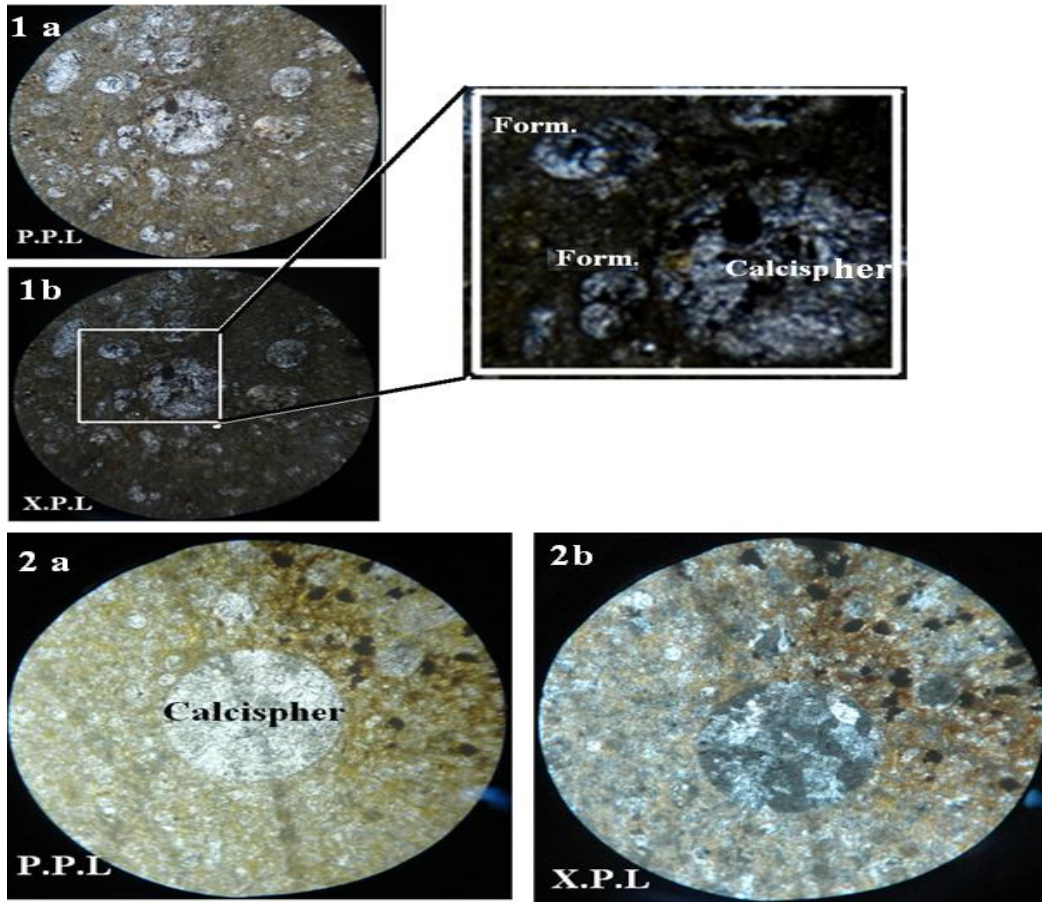
٤- عملية التشكل الجديد Neomorphism

وهي العمليات التي تؤدي الى حصول تغيرات بين بلورات المعدن نفسه ، والتي ينتج عنها نمو بلورات جديدة تكون اكبر حجما" ومختلف في الشكل عن الحبيبات الاصلية (Friedman&sander.1978) وتعد عملية اعادة التبلور من اهم عمليات التشكل الجديد، فقد لوحظ تتم بزيادة حجم الميكرايت (micrite enlargement) إذ تنمو حبيبات الطين الجيري (lime mud) التي لا يتجاوز طولها بضعة مايكرومترات ليصل الى حجم عشرات وأحياناً مئات المايكرومترات وذلك بسبب تجمع المحاليل في الكسور مما يسبب نمو بلورات كالسايت اكبر حجما" من المكاريت، لوحة (3-1) التي تمثل درنات جيرية للنموذج C2 . وقد تتعرض بلورات المرو الدقيق التبلور الى عملية اعادة تبلور لتكون حبيبات مرو أكبر حجما" وبصورة خاصة في الكسور اذ توفر بيئة ملائمة لتجمع المحاليل السيليكية وتبلور معدن المرو كما في النموذج C3 الذي يمثل عقد الصوان

٥- عملية الدلمتة Dolomitization

تعد عملية الدلمتة من العمليات التحويرية المعقدة ، لأنها تتضمن تتداخل عدة عوامل مختلفة مع بعضها البعض والتي هي ، العوامل الحركية ، الوسط الناقل ومعدنية وأنسجة الصخور المضيفة . ويتفق معظم الباحثين على أن الدلمتة هي عملية متعددة المراحل تمثل أحلال صلب Solid Soultion من الأيونات المذابة في المحلول. اللوحة (4-2) التي تمثل الدرنات الدولومايتية.

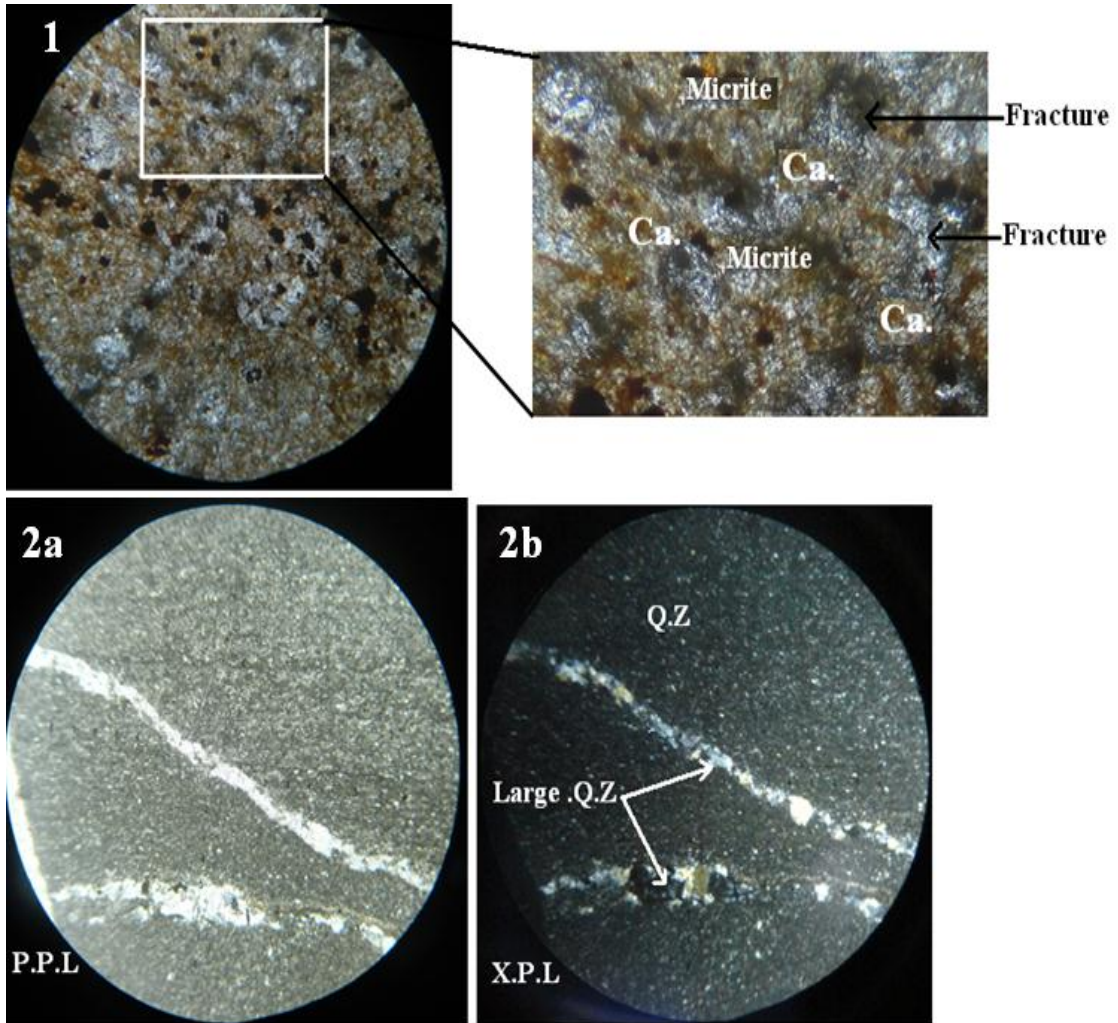
لوحة ٢



لوحة (2- 1a) نموذج C1 يظهر فيه متحجر الفورامنيفرا جنس Globigerina مع Calcispher
 الضوء PPL لوحة (2- 1b) نموذج C1 يظهر فيه متحجر الفورامنيفرا جنس Globigerina مع
 Calcispher الضوء XPL

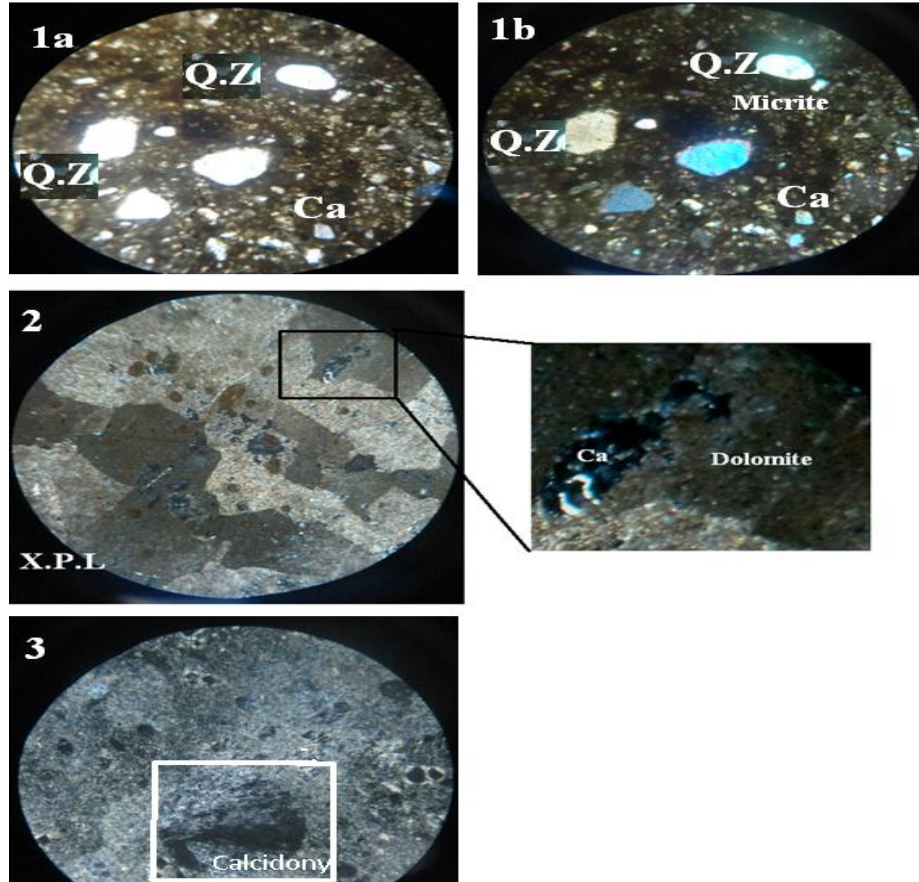
لوحة (2- 2a) نموذج C2 يظهر فيه Calcispher في الضوء المستقطب السوي PPL
 لوحة (2- 2b) نموذج C2 يظهر فيه Calcispher في حالة تعامد المستقطب والمحلل

لوحة (3)



لوحة (1- 3) نموذج C2 يظهر فيه عملية اعادة التبلور لمعدن الكالسايت داخل الكسور
 لوحة (2a- 3) نموذج C3 يظهر فيه عملية اعادة التبلور لمعدن المرود داخل الشقوق المستقطب السوي
 لوحة (2b- 3) نموذج C3 يظهر فيه عملية اعادة التبلور لمعدن المرود داخل الشقوق (تعاقد المستقطبين)

لوحة (4)



لوحة (4-1a) نموذج C6 يحتوي على المكرايت والكالسايت والمرو في الضوء المستقطب السوي PPL

لوحة (4-1a) نموذج C6 يحتوي على المكرايت والكالسايت والمرو في تعامد المستقطبين XPL

لوحة (4-2) مرحلة متقدمة من الدلمتة لمعدن الكالسايت

لوحة (4-3) نموذج C2 يحوي معدن الكالسييدوني في تعامد المستقطبين

الاستنتاجات Conclusion

- أتخذت الدرناش أشكالاً "مختلفة منها الكروية وشبه الكروية ذات التراكيب الشعاعية المعروفة septaria ، فضلا" عن الجيود والعقد.
- تتواجد الدرناش الجيرية و الدولومايتية في صخور المارل اما الدرناش السيليكية (الصوان) والجيود فتتواجد في الصخور الجيرية .
- أن معدن المرو المشخص قد يعود الى الهياكل السيليكية للفورامينيفرا والطحالب في الدرناش الجيرية أما في الصوان والجيود فيعزى معدن المرو الى الحبيبات دقيقة التبلور وجيدة التبلور المشاهدة في الشرائح الصخرية .
- وجود هياكل للمتحجرات والكراش الجيرية Calcispher التي قد توفر نواة لنمو الرواسب حولها على شكل كروي .
- أظهرت الدراسة البتروغرافية وجود عمليات تحويرية تشير الاصل الثانوي للدرناش تمثلت بقلة المسامية في النماذج في إشارة الى عماية الرص الناتج منالدفن العميق وما يرافقه من ضغط للرسوبيات و وجود قنوات أذابة في الكسور الناتجة من ضغط الطبقات في عقد الصوان وادرناش الجيرية و ملاحظة عمليات الاحلال المعدني والتشكل الجديد في مناطق الكسور المتمثل بنمو المكرايت الى الكالسايث وتحول الكالسايث الى الدولومايت فضلا" عن نمو المرو الى بلورات اكبر حجماً داخل الكسور مقارنة بالبلورات الدقيقة التبلور البعيدة عن الكسور .

المصادر والهوامش

1. Pettijohn, F.J., Sedimentary Rocks, Harper and Row, New York, Third edition, 1975.
2. Folk, R.L, Petrology of Sedimentary rock Hamphilpubl. Co. Austin, 1974.
3. **Blatt, H.**, Provenance Determinations and Recycling of Sediments, Journal of Sedimentary Petrology, Vol. 37, No. 4, pp. 1031-1044. **1967**
4. Boggs, Sam. Jr. , "Principle of sedimentology and stratigraphy" forth edition , pearson Education ,Inc. (2010).
- ٥- ياسين ، بشرى رمضان. (العلاقات المكانية بين مستويات السطح والزراعة في محافظة البصرة). أطروحة دكتوراه، كلية الآداب، جامعة البصرة، العراق. ١٩٩٨.
- ٦- سلطان ، باسم حميد، صخرية تركيب جبل سنام وأصل نشأته، رسالة ماجستير غير منشورة ، جامعة البصرة ، ٢٠٠٣.
7. Al- Naqib, K. M., " Geology of Jabal Sanam, South Iraq ", Jour. Geol., Soc. Iraq, Vol. 3, NO. 1, (1970).
8. Buday, T. and Jassim, S.Z., The Regional Geology of Iraq, Tectonism, Magmatism and Metamorphism, Vol.2, GEOSURV, Baghdad. 1987
9. Numan, N.M.S., "Discussion on: Dextral Transpression in Late Cretaceous Continental collision, Sanandaj-Sirjan Zone, Western Iran". Jour. struc. Geol., Vol.23, (2001)..

10. CHAO, G. Y., , 2θ (Cu) table for common minerals, Geological paper 69-2, Ottawa, Canada. 1960.

١١- سعد الله ، عدنان أحمد ، علي ، علي جواد ، الصخور الرسوبية ، دار الكتب جامعة بغداد،
١٩٨٧..

١٢- عباوي ، طارق صالح ،نادر، عامر نادر ، خلف ، صالح خضر ، علم المتحجرات
الدقيقة، دار الكتب للطباعة والنشر ، جامعة الموصل. ١٩٩